



EL FENÓMENO EL NIÑO – OSCILACIÓN DEL SUR (ENOS)

ESTADO ACTUAL: CONDICIONES NEUTRALES

Actualizado: 01 de junio de 2026

RESUMEN

Las condiciones del ENOS son consistentes con condiciones neutrales. Las anomalías de la temperatura del agua del mar (TSM) en el océano Pacífico ecuatorial muestran anomalías positivas en la mayor parte de la región, con máximos cerca de la costa sudamericana. Los vientos alisios en el océano Pacífico estuvieron levemente debilitados en gran parte de la región. El índice de Oscilación del Sur (IOS) mantuvo valores negativos.

De acuerdo a los modelos dinámicos y estadísticos, en promedio, **en el trimestre junio-julio-agosto 2026 existe alrededor de un 90% de chances de desarrollo de una fase cálida o El Niño.**

TEMPERATURA DE AGUA DE MAR (TSM) - PROMEDIO MENSUAL

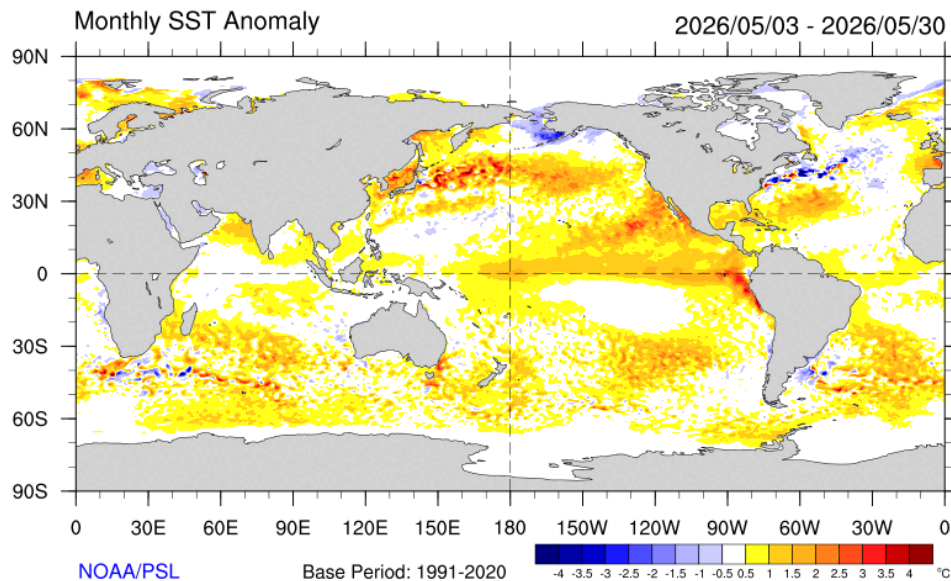


Figura 1: Anomalías de la temperatura superficial del mar del 03 al 30 de mayo de 2026. Período de referencia 1981-2010 - Fuente: NOAA-NCEP/CPC

Durante el mes de mayo, la temperatura del agua del mar en el océano Pacífico ecuatorial fue superior a los valores normales (Figura 1). El calentamiento se extiende desde la costa sudamericana hasta 160°E aproximadamente. Las máximas anomalías se observan cerca de la costa sudamericana.

TSM –EVOLUCIÓN SEMANAL POR REGIONES

Desde julio de 2025 las TSM mostraron un enfriamiento sostenido en la mayoría de las regiones Niño (Figuras 2 y 3), asociado al desarrollo de la fase fría o La Niña. Desde diciembre 2025/enero 2026 este enfriamiento comenzó a debilitarse gradualmente y desde febrero la región Niño 1+2 comenzó a registrar anomalías positivas.

Durante mayo, las regiones Niño tuvieron un calentamiento, manteniéndose todas con anomalías positivas. La siguiente tabla muestra las anomalías en la semana que terminó el 31 de mayo de 2026:

Niño 4	+0.7 °C
Niño 3.4	+0.5 °C
Niño 3	+0.8 °C
Niño 1+2	+1.7°C

Tabla: anomalías de TSM por regiones Niño - Fuente: IRI

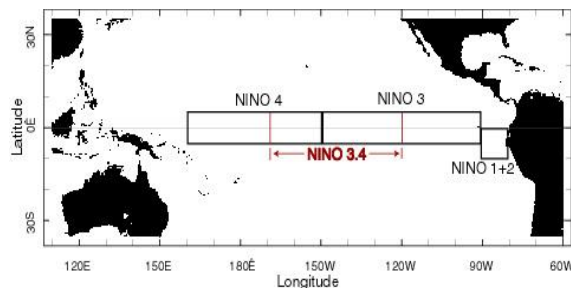


Figura 2: Regiones Niño - Fuente: IRI

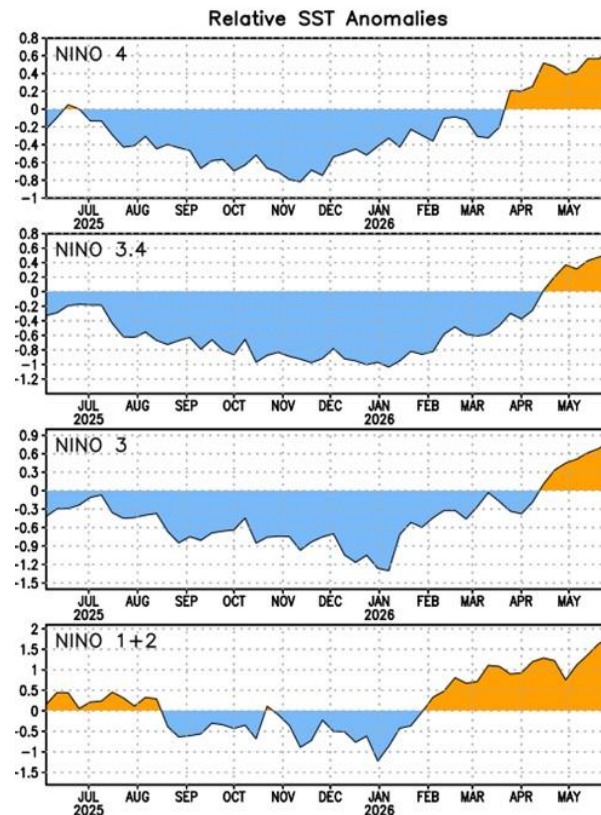


Figura 3: Evolución semanal de la anomalía de TSM en las Regiones Niño - Fuente: Climate Prediction Center (CPC)-NOAA

TSM-SUBSUPERFICIAL

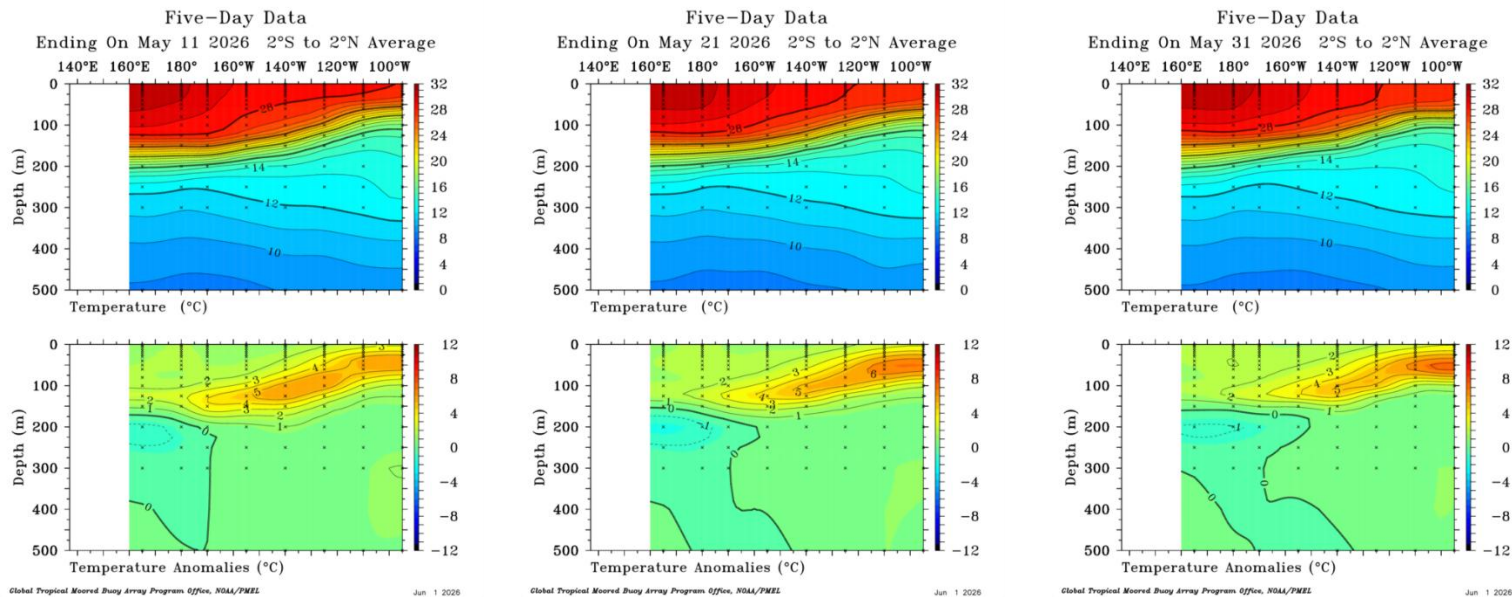
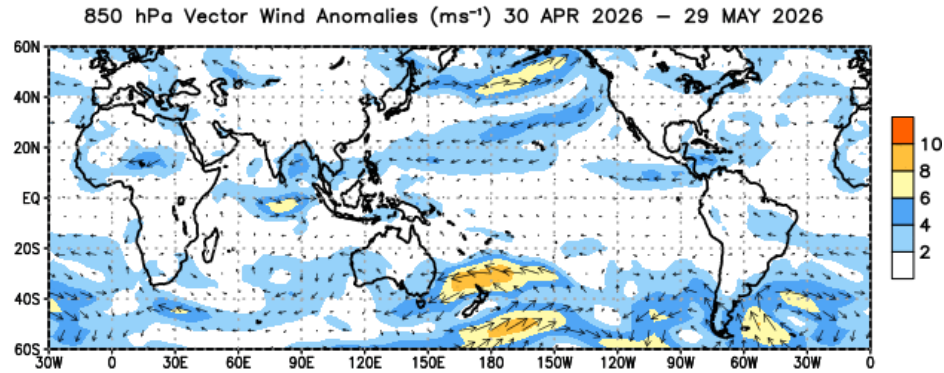


Figura 4 – Corte profundidad vs. longitud de la temperatura del agua del mar y su anomalía en el Pacífico ecuatorial, correspondiente al promedio pentádico que termina el 11 de mayo (izquierda), el 21 de mayo (centro) y el 31 de mayo de 2026 (derecha). Fuente: Pacific Maritime Environmental Laboratory (PMEL)-NOAA

Durante mayo en los niveles sub-superficiales del Pacífico ecuatorial, se observaron temperaturas superiores a las normales en la mayor parte de la región (Figura 4), y un núcleo de anomalías negativas al oeste de la línea de fecha y a una profundidad de 200 m aproximadamente. La región de anomalías positivas se intensificó hacia finales del mes.

VIENTOS ALISIOS



Data Source: NCEP/CORe – Climatology (1991–2020)
(Wind speed $> 2 \text{ ms}^{-1}$ shaded)

Figura 5 – Anomalías de viento zonal en 850 hPa, promediado del 30 de abril al 29 de mayo de 2026 - Fuente: Climate Prediction Center (CPC)-NOAA

Durante abril las anomalías del viento zonal en 850 hPa en el océano Pacífico ecuatorial mostraron, en promedio, alisios levemente debilitados (anomalías positivas) en la mayor parte de la región (Figuras 5 y 6). Alisios intensificados (anomalías negativas) se observaron al este de 140°E .

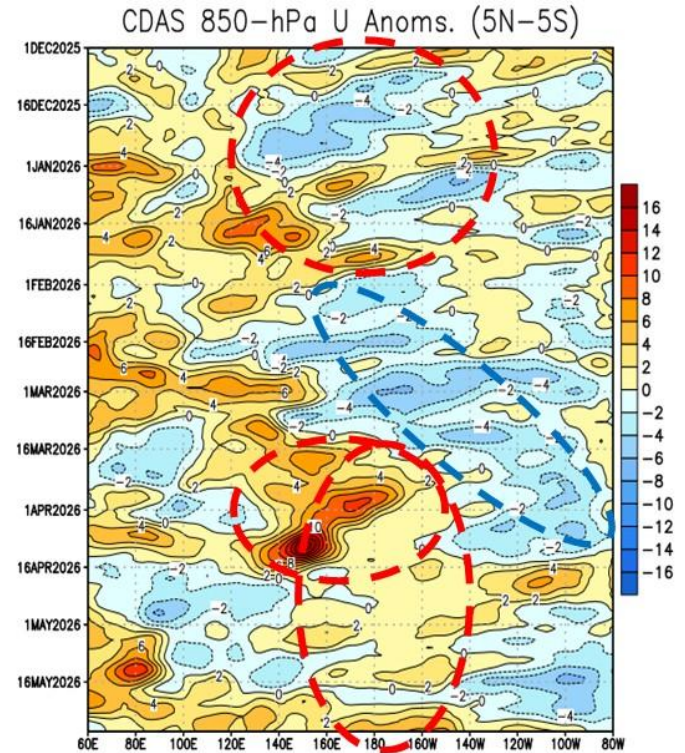


Figura 6 – Anomalías de viento zonal promediado en la región $5^\circ\text{S}-5^\circ\text{N}$ del 01 de diciembre de 2025 al 31 de mayo de 2026 - Fuente: Climate Prediction Center (CPC)-NOAA

CONVECCIÓN

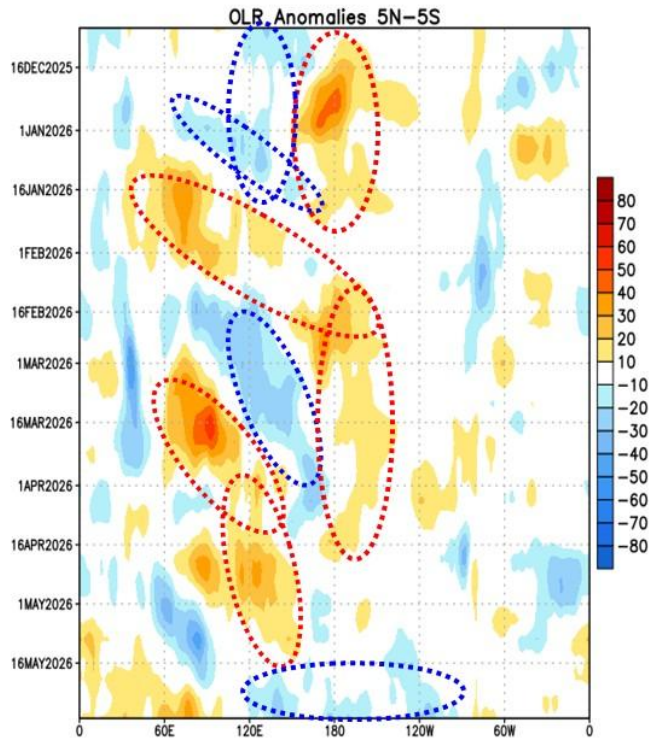


Figura 7 – Anomalías de radiación de onda larga saliente (OLR) promedio en la región 5°S-5°N, del 01 de diciembre de 2025 al 31 de mayo de 2026 - Fuente: Climate Prediction Center (CPC)-NOAA

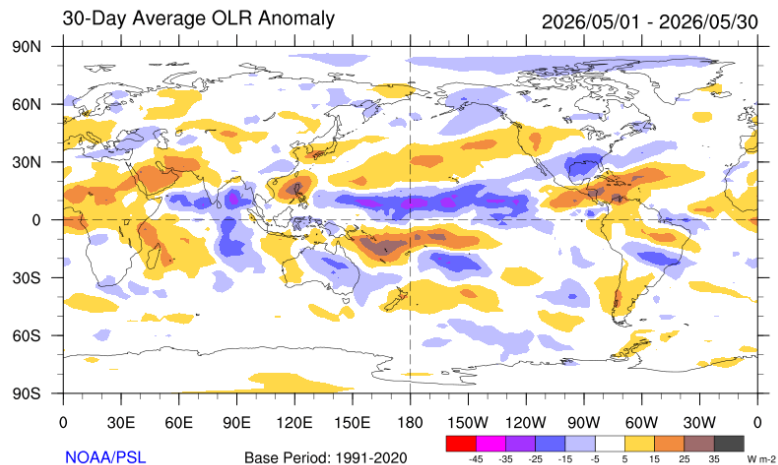


Figura 8 – Promedio de anomalías de radiación de onda larga saliente (OLR) del 01 al 30 de mayo de 2026 - Fuente: NOAA-CIRES/CDC

Durante mayo la actividad convectiva en el océano Pacífico ecuatorial fue inferior a la normal al sur del ecuador entre 140°O y 150°E. Mayor convección se observó al norte del ecuador (Figuras 7 y 8 – Los valores negativos (positivos) de OLR están asociados a mayor (menor) actividad convectiva).

IOS - ÍNDICE DE OSCILACIÓN DEL SUR – ÍNDICE OCEÁNICO DE EL NIÑO

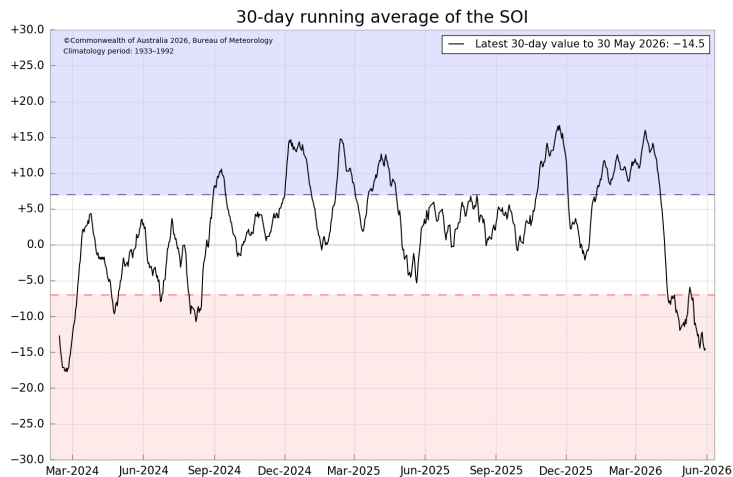


Figura 9 – Índice de oscilación del sur: promedio móvil de 30 días (Fuente: Bureau of Meteorology (BOM))

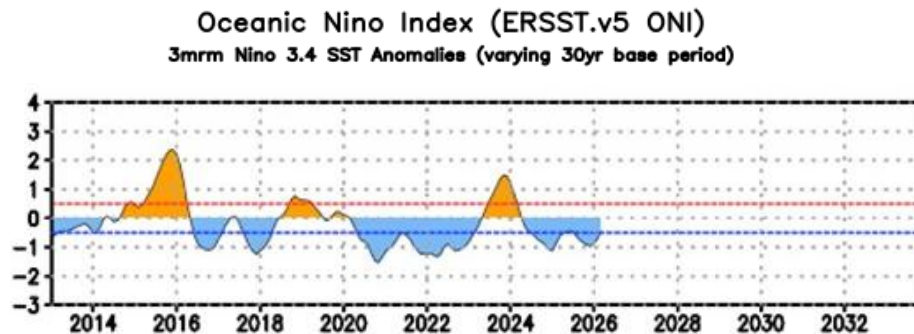


Figura 10 – Índice Oceánico de El Niño (Fuente: Climate Prediction Center (CPC)-NOAA)

El Índice de Oscilación del Sur (IOS) como promedio móvil de 30 días mantiene valores negativos desde abril (Figura 9). El último valor disponible, que termina el 30 de mayo, es de -14.5

En cuanto al Índice Oceánico de El Niño Relativo (RONI, por sus siglas en inglés) en el trimestre febrero-marzo-abril 2026 tuvo un valor de -0.5°C (Figura 10).

PREDICIONES

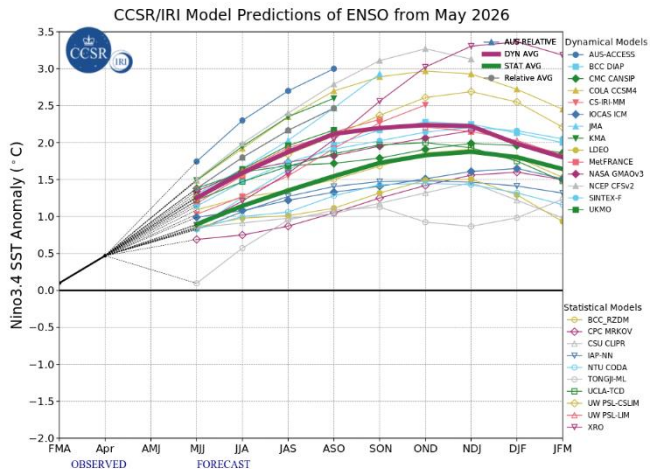


Figura 11 – Pronóstico de anomalías de TSM en la región Niño 3.4. Fuente: IRI.

Los pronósticos computacionales en la región Niño 3.4 prevén en promedio, TSM superiores a sus valores normales en el trimestre junio-julio-agosto 2026 (JJA) (Figura 11).

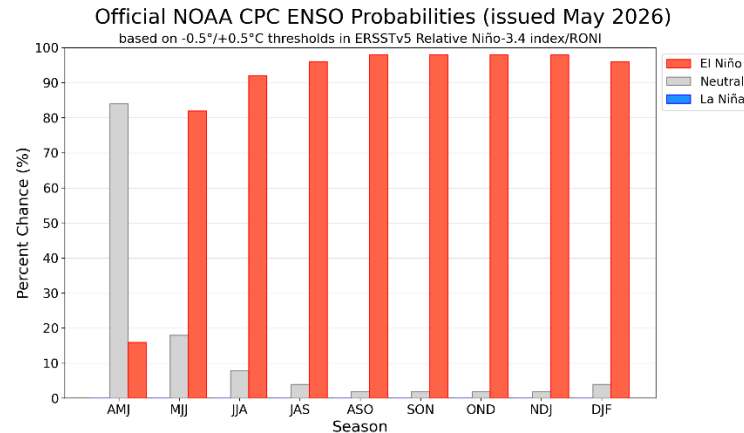


Figura 12 – Pronóstico probabilístico de anomalías de TSM en la región Niño 3.4. - Fuente: IRI.

Por otro lado, y expresado en valores probabilísticos, (Figura 12) hay probabilidades de alrededor de 90% de desarrollo de una fase El Niño en el trimestre JJA 2026. Las chances de desarrollo de un evento El Niño se mantienen altas durante los próximos trimestres.

¿CÓMO NOS AFECTA?

Esta sección será actualizada siempre que se encuentre activa alguna de las fases del ENOS

Más información en: https://www.smn.gob.ar/como_nos_afecta



Ministerio
de Defensa
República Argentina

Dorrego 4019 (C1425GBE) Buenos Aires . Argentina
Tel: (+54 11) 5167-6767 . smn@smn.gob.ar

www.smn.gob.ar

